

FJFI ČVUT

METODA MONTE CARLO

SEMINÁRNÍ PRÁCE

---

# **Parabolická evoluční úloha ve 2D**

---

*Autor*

Vladislav BELOV

5. prosince 2017

# 1 Úvod

Existuje hodně způsobů řešení diferenciálních rovnic. Tato seminární práce se zabývá hledáním aproximace řešení parabolické evoluční úlohy popisující vedení tepla (resp. difuzi)<sup>1</sup> ve dvou dimenzích pomocí metody Monte Carlo.

Obecně parabolická evoluční úloha ve 2D na oblasti  $(0, T) \times \Gamma$ , kde  $T \in \mathbb{R}_+$  a  $\Gamma \subset \mathbb{R}^2$ , vypadá následovně:

$$\begin{aligned} \frac{\partial}{\partial t} u(t, x) - D \cdot \Delta u(t, x) &= f(t, x), \\ u|_{\partial\Gamma} &= g(x), \\ u(0, x) &= h(x). \end{aligned} \tag{1}$$

V dané notaci funkce  $u = u(t, x)$  popisuje rozložení teploty na oblasti  $\Gamma$  (tj.  $x \in \Gamma \subset \mathbb{R}^2$ ) v časech  $t \in (0, T)$ ,  $D$  je termální difuzivita ( $D > 0$ ),  $g = g(x)$  je okrajová podmínka evoluční úlohy  $\forall t \in (0, T)$  a  $h = h(x)$  je počáteční podmínka. V rámci této seminární práce položíme pravou stranu  $f \equiv 0$ .

## 2 Diskretizace úlohy

V numerické matematice se podobné úlohy řeší pomocí metody konečných diferencí (metody sítí), která spočívá v diskretizaci oblasti  $(0, T) \times \Gamma$  a konstrukci diferenčního schématu (viz [Ben17]). Pro jednoduchost budeme hledat řešení úlohy (1) na čtverci  $\Gamma = (-b, b) \times (-b, b)$ ,  $b > 0$ , pak na jeho uzávěru  $\bar{\Gamma}$  lze definovat čtvercovou síť  $\bar{\omega}_h$  s krokem  $h > 0$ , tj.  $\Gamma \leftrightarrow \omega_h$  a  $\partial\Gamma \leftrightarrow \bar{\omega}_h \setminus \omega_h$ . Potom, rozdělíme-li interval  $[0, T]$  na časové hladiny s krokem  $\tau = \frac{T}{N_T}$ , kde  $N_T$  je počet hladin, a označíme-li  $u_{i,j}^k$  hodnoty funkce  $u$  na časových hladinách  $k \in \{0, 1, \dots, N_T\}$  pro všechny  $(i, j)$  body sítě  $\bar{\omega}_h$ , dostaneme podle [Ben17] následující diferenční schéma:

$$\begin{aligned} \frac{u_{i,j}^{k+1} - u_{i,j}^k}{\tau} &= D \cdot \left( \frac{u_{i+1,j}^k - 2u_{i,j}^k + u_{i-1,j}^k}{h^2} + \frac{u_{i,j+1}^k - 2u_{i,j}^k + u_{i,j-1}^k}{h^2} \right), \forall (i, j) \in \omega_h, \forall k \in \{0, 1, \dots, N_T - 1\}; \\ u_{i,j}^k &= g_{i,j}, \forall (i, j) \in \bar{\omega}_h \setminus \omega_h, \forall k \in \{0, 1, \dots, N_T\}; \\ u_{i,j}^0 &= h_{i,j}, \forall (i, j) \in \bar{\omega}_h. \end{aligned} \tag{2}$$

Takovému-to diferenčnímu schématu se říká *explicitní* a jeho chyba aproximace je  $O(\tau + h^2)$ . Budeme-li volit kroky  $\tau$  a  $h$  v poměru  $\frac{h^2}{\tau} = 4$  a položíme-li  $D = 1$ , pak (2) se přepíše následovně:

$$\begin{aligned} u_{i,j}^{k+1} &= \frac{1}{4} (u_{i+1,j}^k + u_{i-1,j}^k + u_{i,j+1}^k + u_{i,j-1}^k), \forall (i, j) \in \omega_h, \forall k \in \{0, 1, \dots, N_T - 1\}; \\ u_{i,j}^k &= g_{i,j}, \forall (i, j) \in \bar{\omega}_h \setminus \omega_h, \forall k \in \{0, 1, \dots, N_T\}; \\ u_{i,j}^0 &= h_{i,j}, \forall (i, j) \in \bar{\omega}_h. \end{aligned} \tag{3}$$

Stojí za zmínění, že schéma (3) je stabilní, neboť obecná podmínka stability pro (2) má tvar:

$$\frac{1}{2} \geq D \cdot \frac{\tau}{h^2}.$$

Získanou soustavu lineárních algebraických rovnic budeme řešit pomocí metody Monte Carlo.

## 3 Algoritmus výpočtu aproximace

Postup pro řešení soustavy rovnic (3) získané diskretizací úlohy (1) je velmi jednoduchý - použijeme lehce upravenou náhodnou procházku. Aproximaci  $u_{i,j}^{k_0}$  pro jistou pevnou časovou hladinu  $k_0 \in \{0, 1, \dots, N_T\}$  dostaneme jako výběrovou střední hodnotu jisté náhodné veličiny  $Y_{W_{ini}}$  definované následujícím způsobem ([Vir10]):

<sup>1</sup>Záleží na tom, jakou fyzikální interpretaci parabolické evoluční úlohy zvolíme.

1. označíme počáteční bod náhodné procházky  $W_{ini} = (i, j) \in \omega_h$ , který se nachází na časové hladině  $k_0$ ;
2. z bodu  $W_{ini}$  přejde náhodná procházka s pravděpodobností  $\frac{1}{4}$  do libovolného sousedního bodu, který je na časové hladině  $k_0 - 1$ ;
3. pokud je náhodná procházka stále ve vnitřním bodě sítě  $\bar{\omega}_h$  (tj. není na hranici  $\bar{\omega}_h \setminus \omega_h$ ) a není na nulové časové hladině, vrátíme se na krok 2, jinak jdeme na krok 4;
4. označíme-li  $W_{fin}$  bod sítě, ve kterém se nachází náhodná procházka v daném okamžiku, pak definujeme náhodnou veličinu  $Y_{W_{ini}}$  takto:
  - $Y_{W_{ini}} = h(W_{fin})$ , pokud  $W_{fin} \in \omega_h$ , ale  $W_{fin} \notin \bar{\omega}_h$ ;
  - $Y_{W_{ini}} = g(W_{fin})$ , pokud  $W_{fin} \in \bar{\omega}_h \setminus \omega_h$ .

Zopakujeme-li tento postup pro všechny body  $(i, j) \in \omega_h$ , dostaneme aproximaci<sup>2</sup> řešení diferenčního schématu (3).

Označíme-li  $\hat{\mu}$  výběrovou střední hodnotu náhodné veličiny  $Y_W$  pro všechna  $W$  a  $\hat{s}^2$  její výběrový rozptyl, potom chybu  $\delta$  vypočítané aproximace nalezneme pomocí vzorce, který přímo vyplývá z Čebyševovy nerovnosti:

$$\delta = |EY_W - \hat{\mu}| = \sqrt{\frac{\hat{s}^2}{N \cdot \varepsilon}}, \quad (4)$$

kde  $N$  je počet simulací v rámci metody Monte Carlo (tzn.  $N \equiv$  počet náhodných procházek vycházejících z bodu  $W$  sítě  $\omega_h$ ) a  $0 < \varepsilon < 1$  je hladina významnosti.

## 4 Implementace

Součástí této seminární práce je také implementace v programovacím jazyce Matlab, která se skládá ze čtyř souborů. Tři z nich obsahují definice funkcí, jež budou popsány podrobněji v následujících podsekcích. V čtvrtém souboru `main.m` lze nalézt pouze vyvolání řešiče parabolické parciální diferenciální rovnice, který je implementován v `parabolicPDESolver.m`.

### 4.1 Funkce `parabolicPDESolver`

Tato funkce odpovídá za výpočet aproximace řešení diferenčního schématu (3) podle algoritmu popsaného v sekci 3.

- Vstupní parametry:
  - `numOfSim` - počet simulací v rámci metody Monte Carlo;
  - `b` - číslo  $b > 0$  určující oblast  $\Gamma = (-b, b) \times (-b, b)$ ;
  - `meshStep` - krok  $h$  sítě  $\bar{\omega}_h$ ;
  - `maxTime` - časová hladina  $k_0$ , pro niž hledáme aproximaci řešení;
  - `verbose` - parametr podrobného výpisu.
- Výstupní parametry:
  - `solution` - hledaná aproximace řešení schématu (3);
  - `solutionErr` - chyba aproximace řešení.

---

<sup>2</sup>Ve zdroji [Vir10] lze nalézt důkaz toho, že střední hodnoty  $Y_W$  pro všechna  $W$  řeší soustavu rovnic (3).

## 4.2 Funkce meshRandomWalk

Tato funkce odpovídá za simulaci náhodné procházky na síti  $\bar{\omega}_h$ .

- Vstupní parametry:
  - xStartPos - x-ová souřadnice bodu  $W_{ini}$ ;
  - yStartPos - y-ová souřadnice bodu  $W_{ini}$ ;
  - meshStep - analogický význam jako v podsekcí 4.1;
  - b - analogický význam jako v podsekcí 4.1;
  - maxTime - analogický význam jako v podsekcí 4.1;
- Výstupní parametry:
  - xFinPos - x-ová souřadnice bodu  $W_{fin}$ ;
  - yFinPos - y-ová souřadnice bodu  $W_{fin}$ .

## 4.3 Funkce calcStats

Tato funkce odpovídá za výpočet statistických vlastností náhodné veličiny  $Y_W$  definované v sekci 3.

- Vstupní parametry:
  - rv - vektor hodnot náhodné veličiny  $Y_W$ ;
  - signLvl - hladina významnosti;
  - verbose - parametr podrobného výpisu.
- Výstupní parametry:
  - ex - výběrová střední hodnota náhodné veličiny  $Y_W$ ;
  - dx - výběrový rozptyl náhodné veličiny  $Y_W$ ;
  - err - chyba aproximace.

## 5 Simulace a výsledky

Pro demonstraci funkčnosti algoritmu uvedeného v sekci 3 a jeho implementace popsané v sekci 4 byla provedena řada simulací. Okrajová a počáteční podmínky úlohy (1) byly zvoleny v následujícím tvaru<sup>3</sup>:

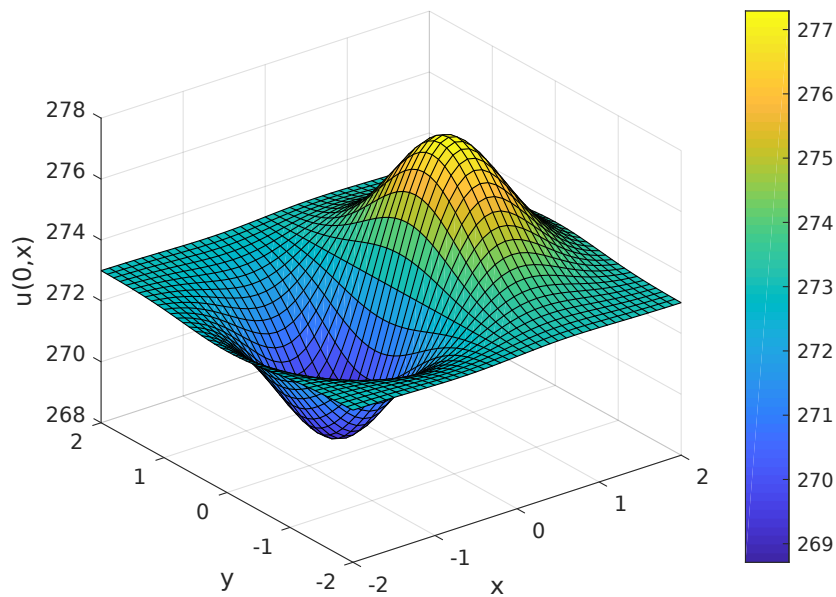
$$u|_{\partial\Gamma} = g(x) = 273; \quad (5)$$

$$u(0, x) = h(x) = 10x \cdot \exp(-x^2 - y^2) + 273. \quad (6)$$

Počáteční podmínka (6) popisuje chování funkce  $u = u(t, x)$  na čtverci  $\bar{\Gamma}$  v čase  $t = 0$ ; toto chování je znázorněno na Obr. 1 (zvolíme síť  $\bar{\omega}_h$  s krokem  $h = 0, 1$ )<sup>4</sup>. Očekávali bychom, že časem pozorovaný systém prostřednictvím šíření tepla (resp. procesu difuze) dosáhne nějaké střední teploty na celém čtverci  $\bar{\Gamma}$ , což můžeme pozorovat na Obr. 2, 4, 6, 8. Na zmíněných diagramech je zobrazen průběh aproximace řešení původní úlohy ve 3D a ve 2D pro časové hladiny  $k_0 \in \{50, 250\}$  a různé počty simulací  $N \in \{100, 1000, 10000, 100000\}$ . Na Obr. 3, 5, 7, 9 lze vidět odpovídající těmto simulacím chyby spočítané pomocí vzorce (4) na hladině významnosti 5 %. Zajímavým pozorováním je to, že chyba je maximální ve středu  $\bar{\Gamma}$ , tj. v bodech sítě, ze kterých se náhodné procházky nejméně pravděpodobně dostanou do hranice  $\partial\Gamma$ .

<sup>3</sup>Kdyby byla potřeba, v implementačním souboru lze tyto podmínky snadno měnit.

<sup>4</sup>Lze volit i menší hodnoty, což ale způsobí podstatné zvýšení času potřebného na výpočet aproximace řešení na celém čtverci  $\bar{\Gamma}$ .



Obrázek 1: Grafické znázornění počáteční podmínky (6).

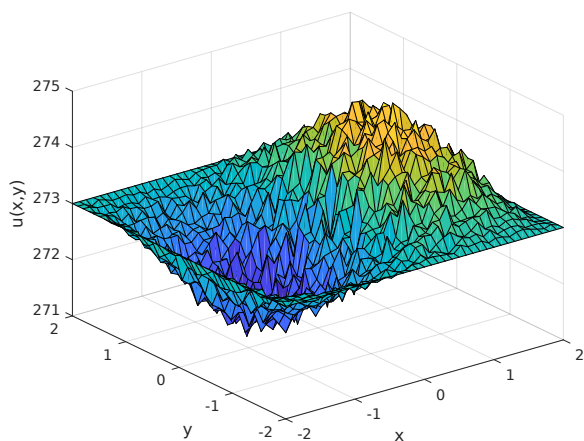
Vzhledem k tomu, že na čtverci  $\bar{\Gamma}$  pro zvolenou síť bylo spočítáno řádově  $10^3$  chyb aproximace řešení, uvedeme v Tab. 1 pro různé počty simulací  $N$  pouze maximální chyby. Lze spekulovat o závislosti velikosti maximální chyby na zvolené časové hladině: je vidět, že pro větší hladinu chyba je menší. Tohle může být způsobeno tím, že se systém časem stabilizuje a hodnoty skutečného řešení úlohy se přibližují k jisté střední hodnotě (v našem případě je tato hodnota rovna 273).

Počet simulací, $N$	Max. chyba, $k_0 = 50$	Max. chyba, $k_0 = 250$
$10^2$	1.1434	0.6963
$10^3$	0.3433	0.1830
$10^4$	0.1061	0.0560
$10^5$	0.0333	0.0176

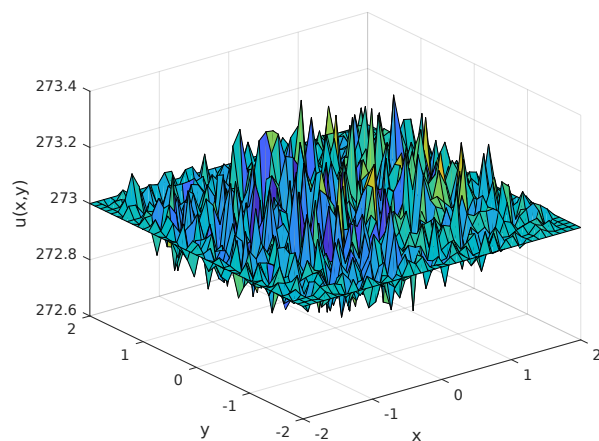
Tabulka 1: Maximální chyba aproximace řešení diskretizované parabolické evoluční úlohy pro časové hladiny  $k_0 \in \{50, 250\}$ .

## 6 Závěr

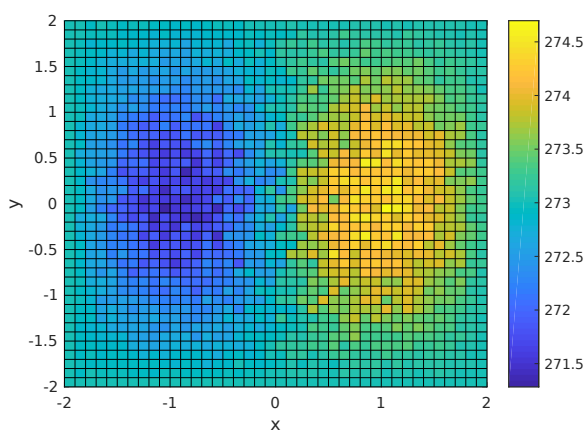
V této seminární práci bylo ukázáno, že pomocí Metody Monte Carlo lze aproximovat řešení parabolické evoluční úlohy ve 2D. Uvedený postup lze zobecnit do více dimenzí, čímž ale se o hodně zvětší časová náročnost výpočtů. Nicméně, pro aproximaci řešení v nějakém konkrétním zvoleném bodě tento postup je zcela použitelný i ve více dimenzích.



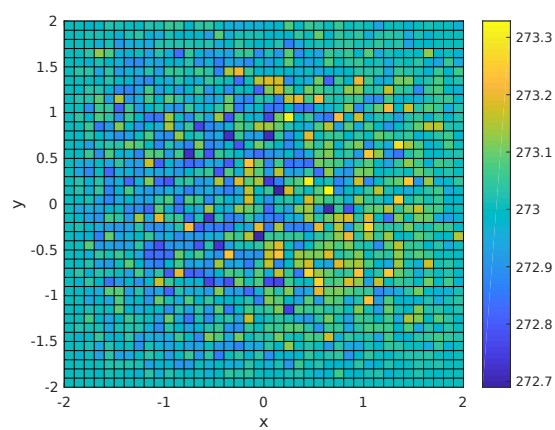
(a) Časová hladina  $k_0 = 50$ .



(b) Časová hladina  $k_0 = 250$ .

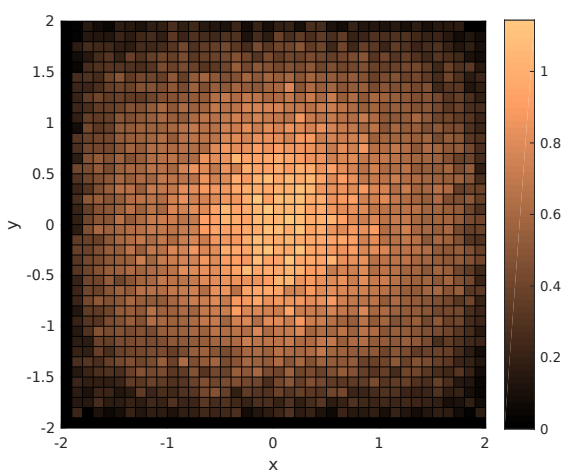


(c) Časová hladina  $k_0 = 50$ .

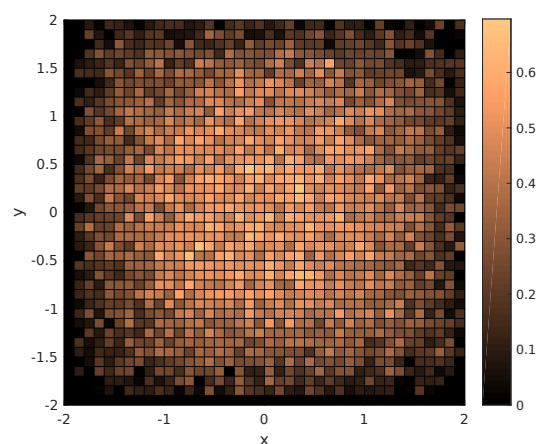


(d) Časová hladina  $k_0 = 250$ .

Obrázek 2: Aproximace řešení úlohy (3) na čtverci  $\bar{\Gamma} = [-2, 2] \times [-2, 2]$ , která byla dosažená při počtu simulací  $N = 100$  na různých časových hladinách.

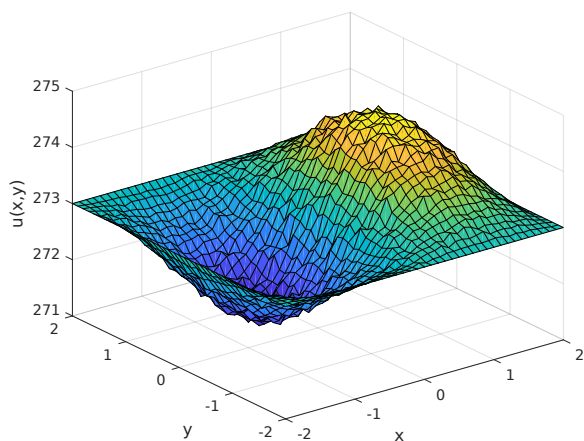


(a) Časová hladina  $k_0 = 50$ .

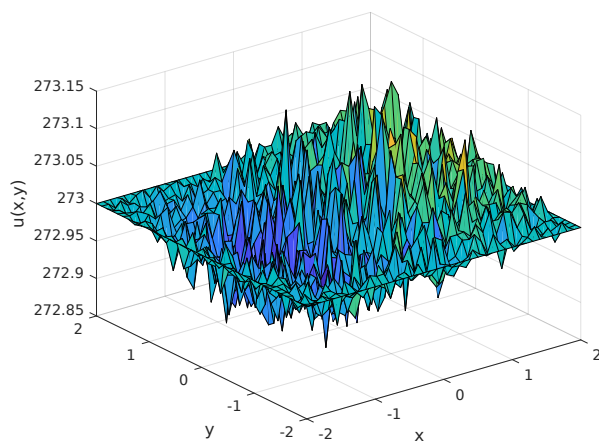


(b) Časová hladina  $k_0 = 250$ .

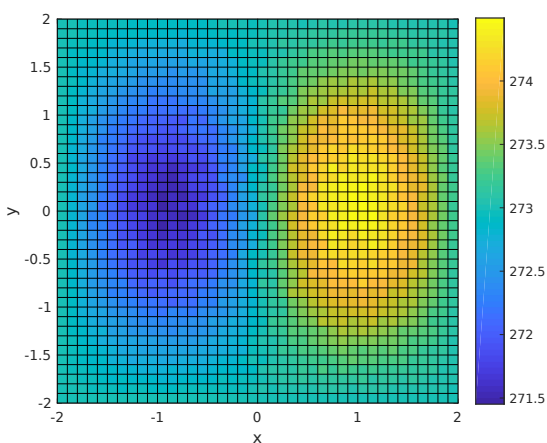
Obrázek 3: Grafické znázornění chyby aproximace řešení úlohy (3) pro počet simulací  $N = 100$  na čtverci  $\bar{\Gamma} = [-2, 2] \times [-2, 2]$  (5% hladina významnosti).



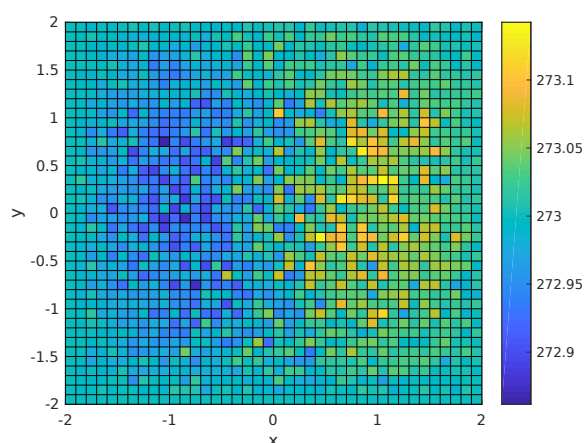
(a) Časová hladina  $k_0 = 50$ .



(b) Časová hladina  $k_0 = 250$ .

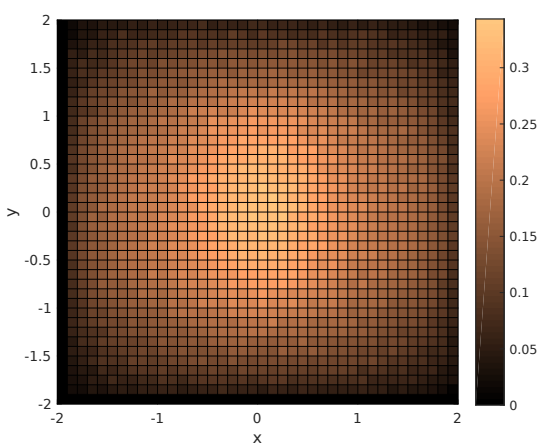


(c) Časová hladina  $k_0 = 50$ .

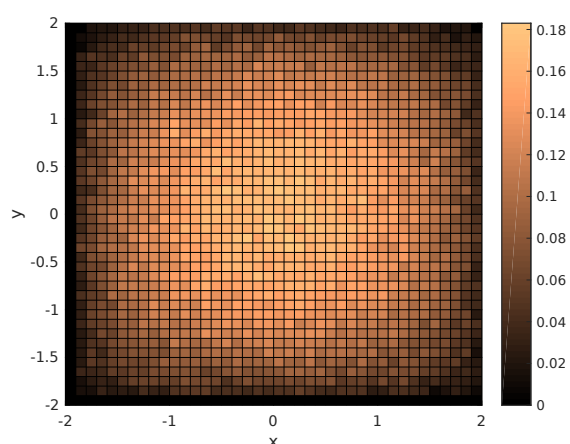


(d) Časová hladina  $k_0 = 250$ .

Obrázek 4: Aproximace řešení úlohy (3) na čtverci  $\bar{\Gamma} = [-2, 2] \times [-2, 2]$ , která byla dosažena při počtu simulací  $N = 1000$  na různých časových hladinách.

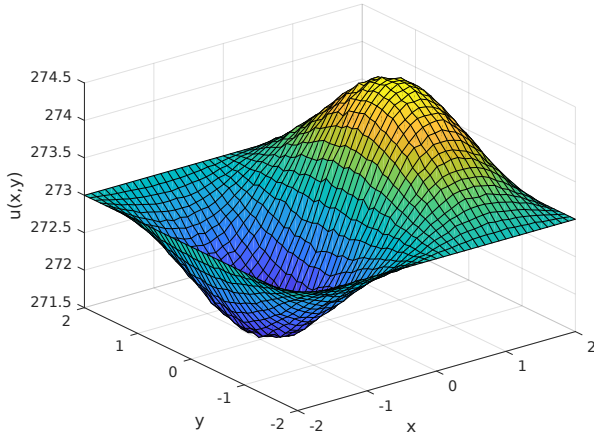


(a) Časová hladina  $k_0 = 50$ .

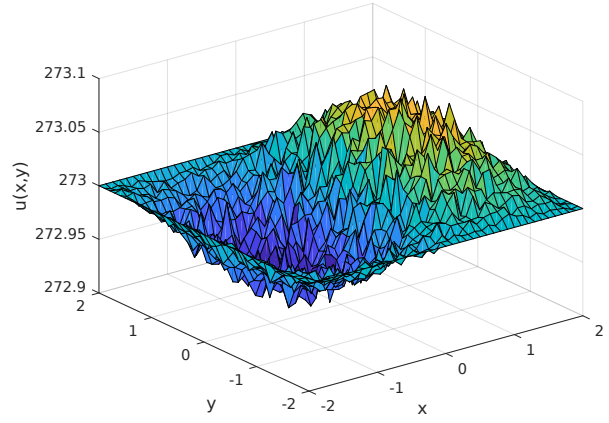


(b) Časová hladina  $k_0 = 250$ .

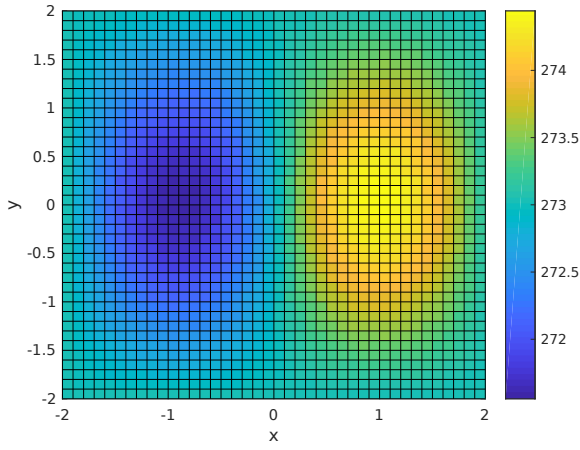
Obrázek 5: Grafické znázornění chyby aproximace řešení úlohy (3) pro počet simulací  $N = 1000$  na čtverci  $\bar{\Gamma} = [-2, 2] \times [-2, 2]$  (5% hladina významnosti).



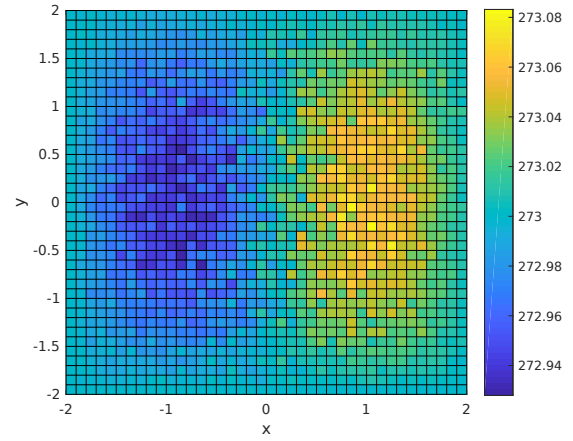
(a) Časová hladina  $k_0 = 50$ .



(b) Časová hladina  $k_0 = 250$ .

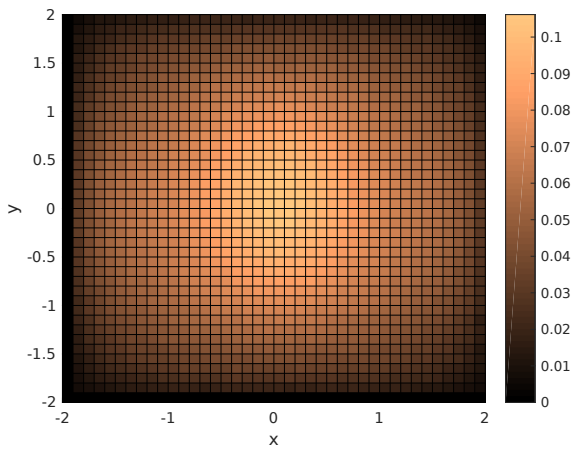


(c) Časová hladina  $k_0 = 50$ .

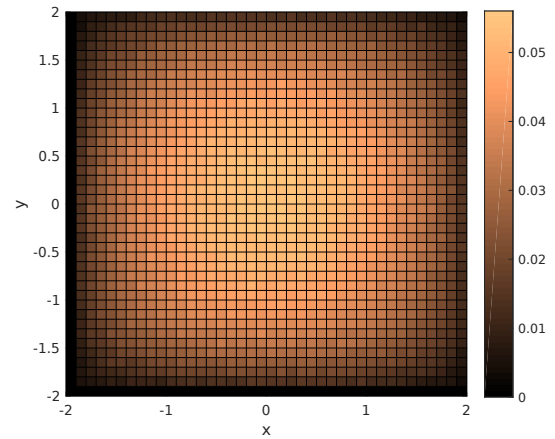


(d) Časová hladina  $k_0 = 250$ .

Obrázek 6: Aproximace řešení úlohy (3) na čtverci  $\bar{\Gamma} = [-2, 2] \times [-2, 2]$ , která byla dosažena při počtu simulací  $N = 10000$  na různých časových hladinách.



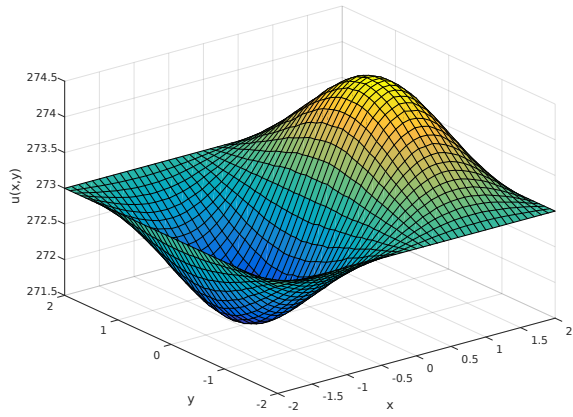
(a) Časová hladina  $k_0 = 50$ .



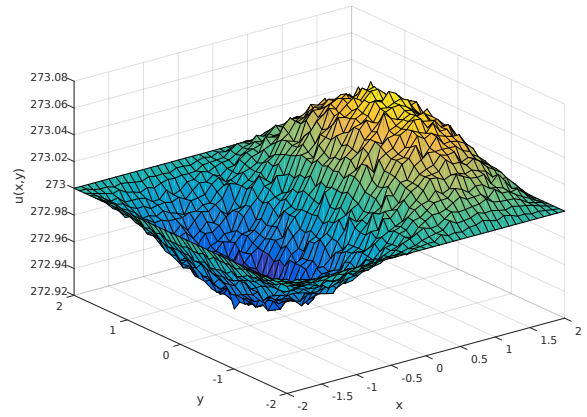
(b) Časová hladina  $k_0 = 250$ .

Obrázek 7: Grafické znázornění chyby aproximace řešení úlohy (3) pro počet simulací  $N = 10000$  na čtverci  $\bar{\Gamma} = [-2, 2] \times [-2, 2]$  (5% hladina významnosti).

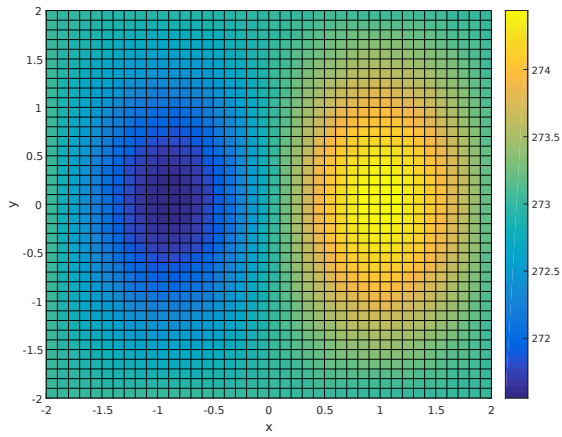




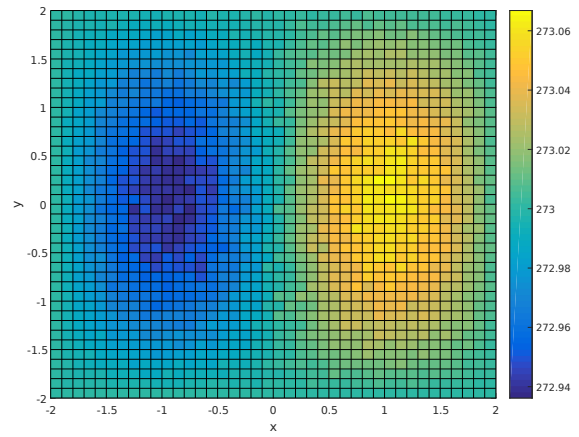
(a) Časová hladina  $k_0 = 50$ .



(b) Časová hladina  $k_0 = 250$ .

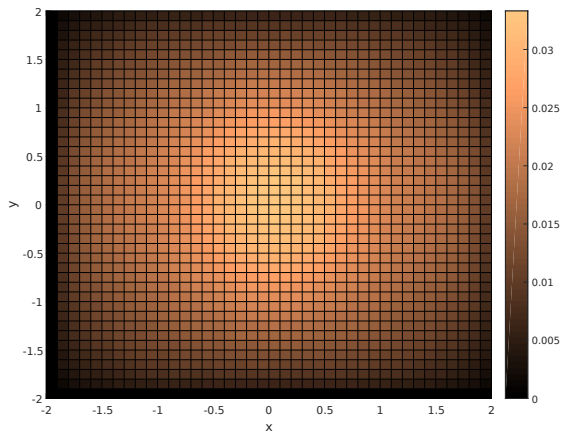


(c) Časová hladina  $k_0 = 50$ .

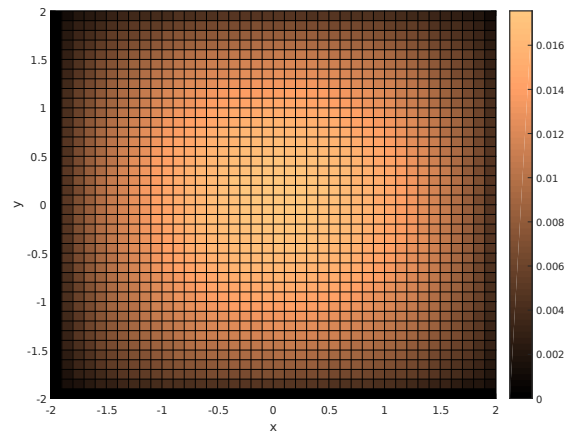


(d) Časová hladina  $k_0 = 250$ .

Obrázek 8: Aproximace řešení úlohy (3) na čtverci  $\bar{\Gamma} = [-2, 2] \times [-2, 2]$ , která byla dosažena při počtu simulací  $N = 100000$  na různých časových hladinách.



(a) Časová hladina  $k_0 = 50$ .



(b) Časová hladina  $k_0 = 250$ .

Obrázek 9: Grafické znázornění chyby aproximace řešení úlohy (3) pro počet simulací  $N = 100000$  na čtverci  $\bar{\Gamma} = [-2, 2] \times [-2, 2]$  (5% hladina významnosti).

## Reference

- [Ben17] M. Beneš. Numerická matematika 2. Fakulta jaderná a fyzikálně inženýrská Českého vysokého učení technického v Praze (FJFI ČVUT), 2017.
- [Vir10] M. Virius. *Metoda Monte Carlo*. Skripta. České vysoké učení technické, 2010.